

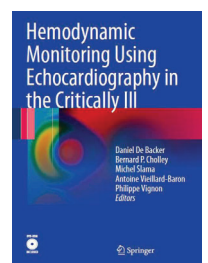
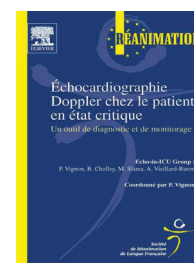
## Cœur pulmonaire aigu

P. Vignon

Réanimation Polyvalente ; CIC 1435 - CHU Limoges



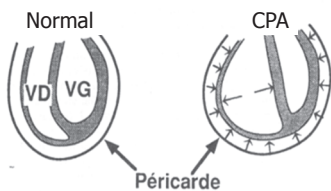
Conflit d'intérêt



## Cœur pulmonaire aigu : définition

- ❖ Syndrome lié à une **élévation brutale de la post-charge du ventricule droit** secondaire à un obstacle de la circulation pulmonaire situé entre l'origine de l'artère pulmonaire et les capillaires pulmonaires
- ❖ Principales causes en réanimation :
  - Embolie pulmonaire (EP) massive
  - SDRA (ventilation mécanique)
  - Choc septique

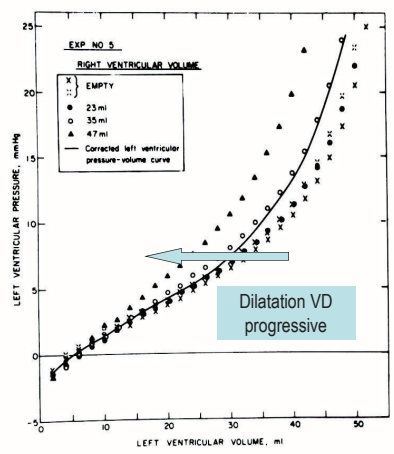
## Interdépendance ventriculaire



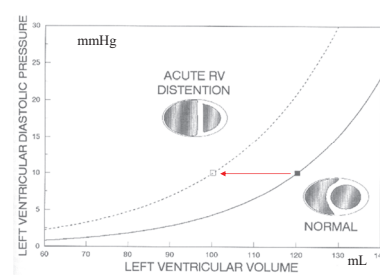
### Cœur pulmonaire aigu :

- ❖ Seul le **VD** peut se **dilater brutalement** (paroi libre fine) suite à une augmentation de postcharge (ou à une baisse d'inotropisme)
- ❖ La somme des volumes télediastoliques des ventricules est constante dans le péricarde inextensible
- ❖ Toute dilatation brutale du **VD** diminue le remplissage du **VG**, donc son éjection : risque de **défaillance circulatoire +++**

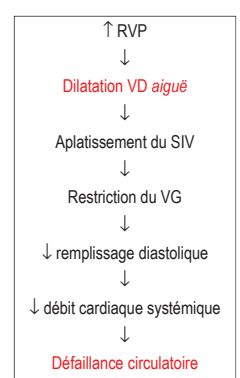
L'augmentation progressive du volume VD décale la courbe de fonction diastolique VG vers la gauche : **gène au remplissage, donc à l'éjection VG** (voire **défaillance circulatoire**)

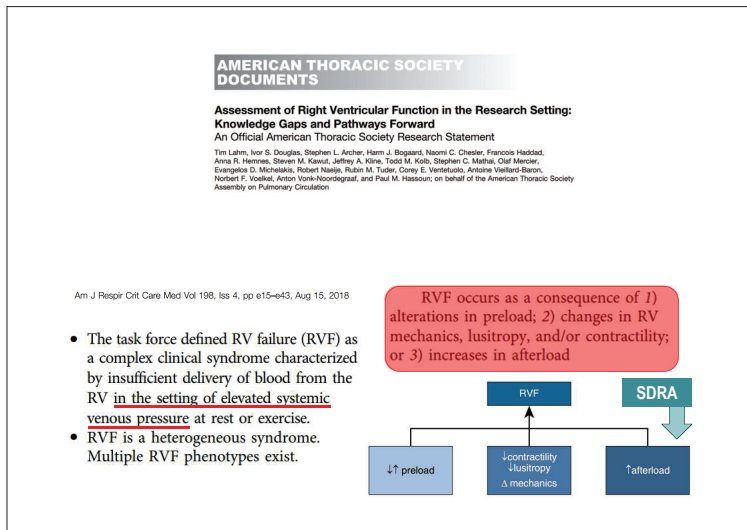
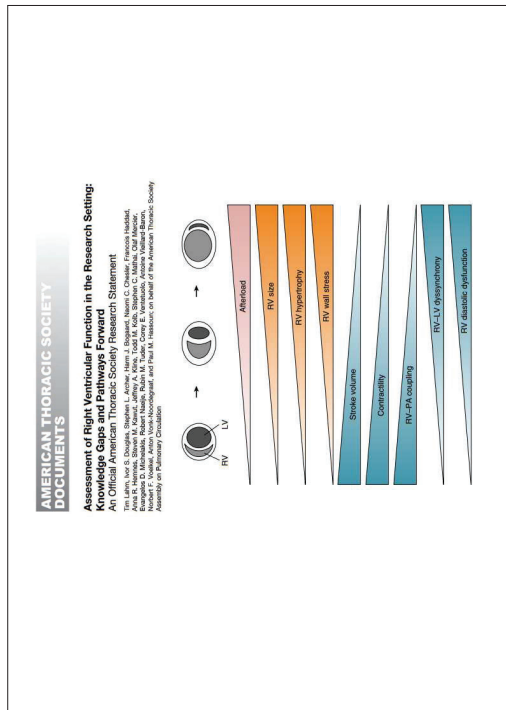


## Défaillance circulatoire du CPA



L Wood, J Hall. Principles in critical care





Intensive Care Med (2010) 44:774–790  
https://doi.org/10.1007/s00134-010-5172-2

**REVIEW**

**Diagnostic workup, etiologies and management of acute right ventricle failure**

A state-of-the-art paper

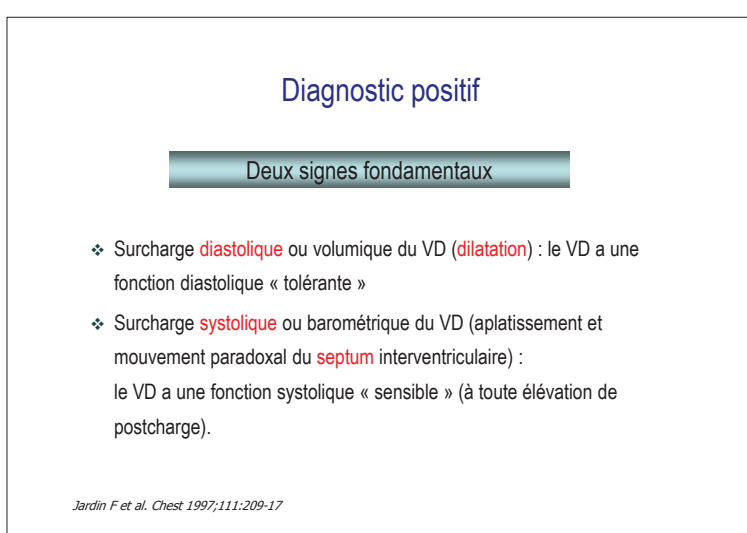
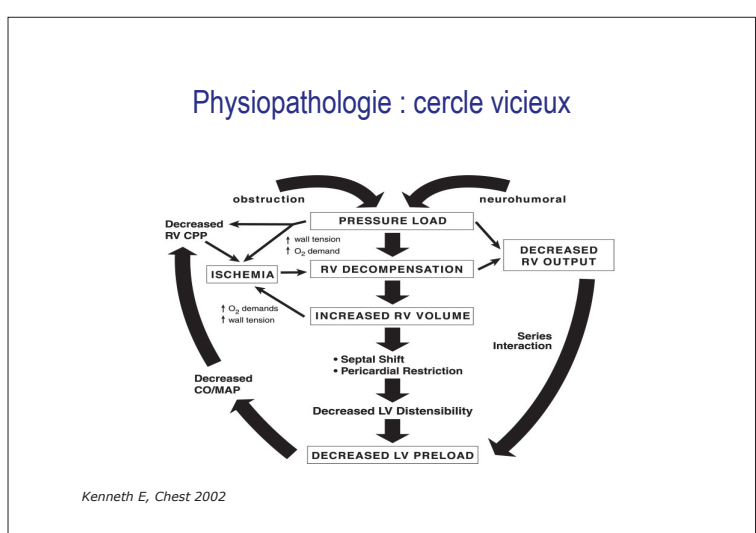
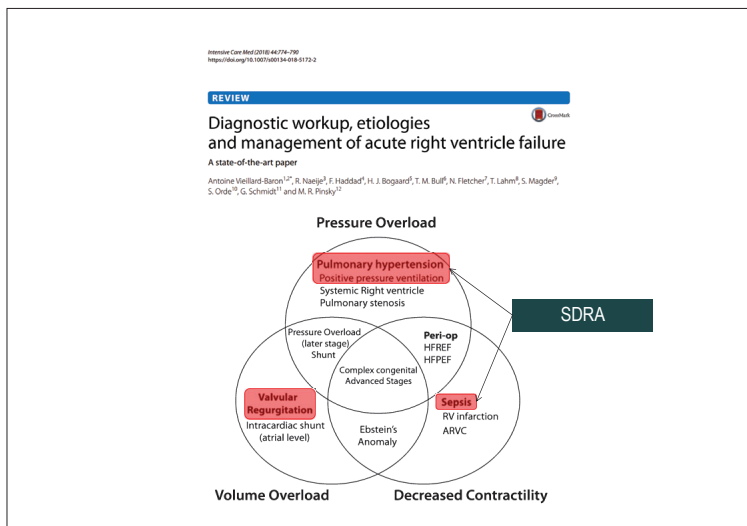
Antoine Villard-Baron<sup>1,2</sup>, R. Naeije<sup>3</sup>, F. Haddad<sup>4</sup>, H. J. Bogaard<sup>5</sup>, T. M. Bull<sup>6</sup>, N. Fletcher<sup>7</sup>, T. Lahm<sup>8</sup>, S. Magder<sup>9</sup>, S. Orde<sup>10</sup>, G. Schmidt<sup>11</sup> and M. R. Pinsky<sup>2</sup>

**RV failure**

Accordingly, RVF is defined by a state in which the RV is unable to meet the demands for blood flow without excessive use of the Frank-Starling mechanism (i.e. increase in stroke volume associated with increased preload). *i.e., RV dilatation*

**RV dysfunction**

RV dimensions can be increased above normal limits (defined on healthy control populations), yet flow output remains sufficient without onset of systemic congestion.



## Diagnostic différentiel

### ❖ Cœur pulmonaire chronique :

- Contexte +++
- HTAP sévère (PAPs > 60 mmHg)
- HVD (paroi libre > 7 voire 10 mm)

### ❖ Infarctus du VD

- ❖ Pièges exceptionnels : sténose pulmonaire, compression des artères pulmonaires (tumeurs, anévrismes de l'aorte ascendante...), fistules vasculaires (aortopulmonaire...)

## 1. Surcharge DIASTOLIQUE

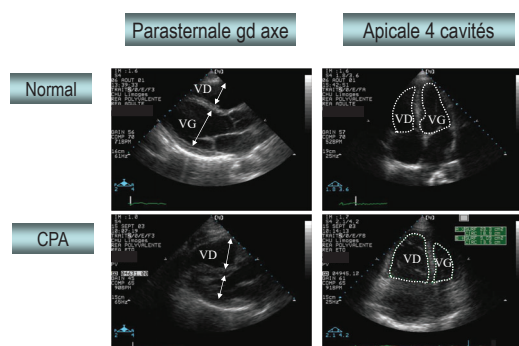


## Dilatation du VD (et de l'OD)

Au mieux jugée en vue 4 cavités

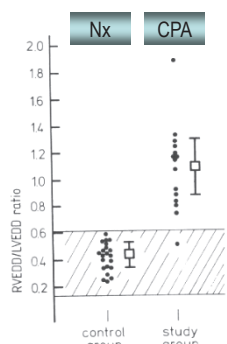


## Dilatation VD



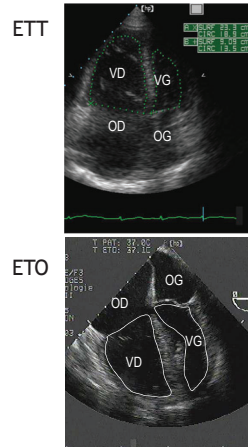
Vieillard-Baron A, Vignon P. Echocardiographie Doppler chez le patient en état critique. Elsevier 2008

Rapport des diamètres téldiastoliques VD/VG (parasternale grand axe)



**FIGURE 4.** The ratio of right to left ventricular end-diastolic diameter (RVEDD/LVEDD) in patients with acute pulmonary hypertension (study group) (mean  $\pm$  standard deviation  $1.1 \pm 0.32$ ) differed markedly from that of the control group ( $0.43 \pm 0.1$ ) ( $p < 0.001$ ). The shaded area represents the reported normal range for this ratio.

Kasper et al. Am J Cardiol 1980 ; 45 : 567-72



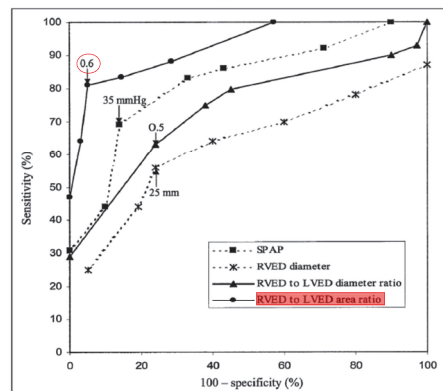
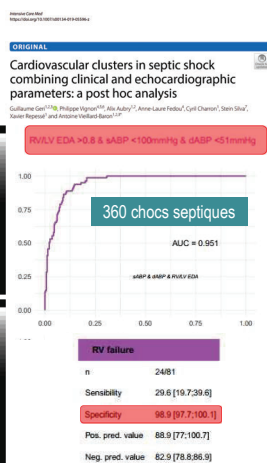
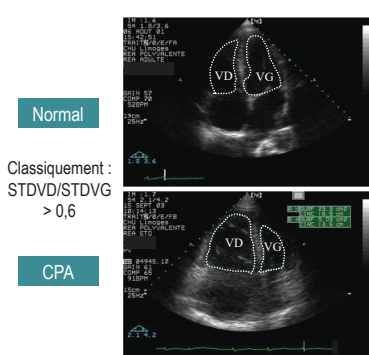
## Dilatation du VD

Mesure du rapport des surfaces téldiastoliques des ventricules (STDVD / STDVG)

- ❖ Rapport < 0,6 : normal
- ❖ Rapport 0,6 - 1 : dilatation minime (exiger cinétique septale anormale)
- ❖ Rapport > 1 : dilatation importante (la cinétique septale est anormale)

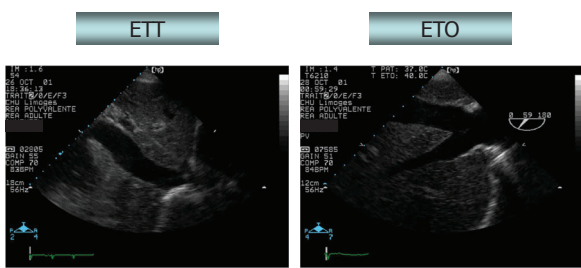
Jardin F et al. Chest 1997;111:209-17

## Dilatation du VD : grand axe



Mansencal et al. Am J Cardiol 2003 ; 92 : 116

## Dilatation VCI (& perte des variations respiratoires)

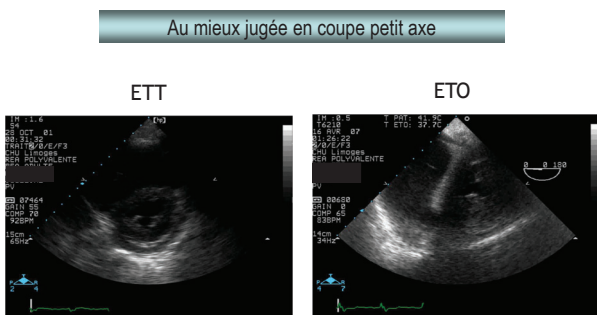


Congestion veineuse systémique :

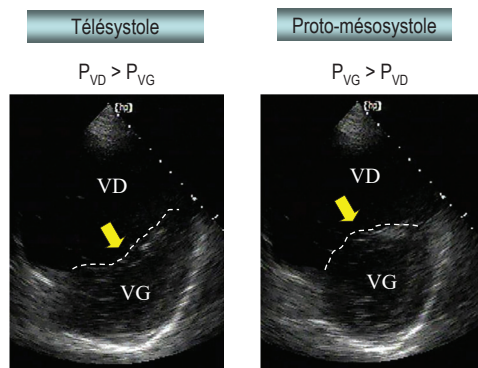
- Dilatation VCI : diamètre télé-expiratoire > 24 mm
- Perte des variations respiratoires VCI (VS)

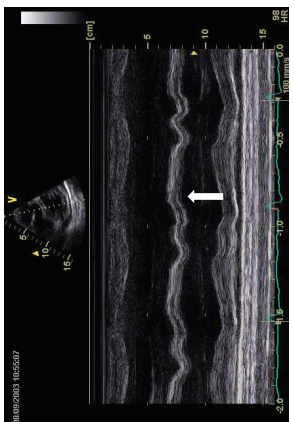
## 2. Surcharge SYSTOLIQUE

### Cinétique paradoxale du septum



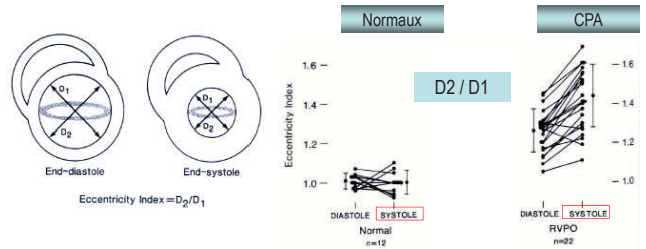
### Septum paradoxal



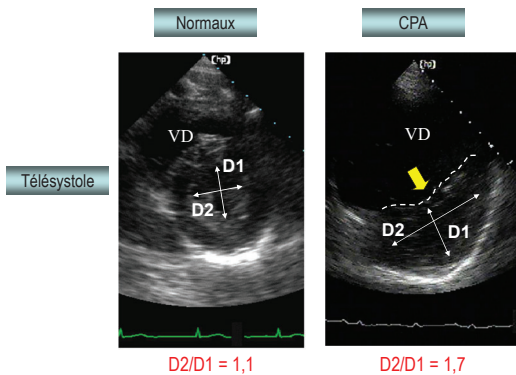


## Index d'excentricité

Valeur normale : ~ 1 car VG circulaire en petit axe (notamment en télésystole)



## Index d'excentricité et CPA



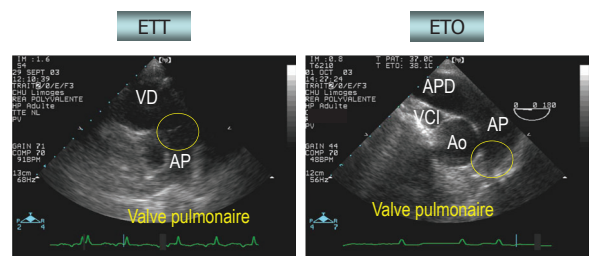
## Dysfonction systolique VD

- ❖ Evaluée visuellement +++
- ❖ Fraction de réduction de surface (4 cavités) : paramètre le + utilisé
  - STD – STS / STD exprimée en % ; seuil pathologique < 35%
  - Recouvrement important des valeurs normales et pathologiques +++  
75 patients ventilés pour un SDRA : 19 avec un CPA (FRSVD :  $30 \pm 11 p.100$  ; extrêmes : 14 à 52 %) et 56 sans CPA (FRSVD :  $35 \pm 11 p.100$  ; extrêmes : 13 à 56 %)
  - PAS de relation avec le niveau d'HTAP +++
- ❖ TAPSE : dysfonction VD si < 17 mm, mais influencé par la FEVG +++
- ❖ FEVD en échocardiographie 3D temps réel : seuil < 45%.

## 3. Anomalie du profil Doppler d'éjection VD : HTAP

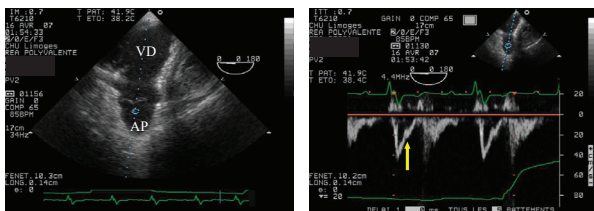


## Profil Doppler pulmonaire



## Incisure mésosystolique : HTAP

ETO : transgastrique profonde



## 4. Quantification de l'HTAP

## Hypertension artérielle pulmonaire (HTAP)

- ❖ Elévation en règle modérée au cours du CPA
- ❖ VD : **pression systolique < 60 mmHg en aigu**
- ❖ Parfois normale : bas débit VD
- ❖ Peu de valeur diagnostique chez un patient donné

- HTAP : PAPs > 30 mmHg ou PAPm > 20 mmHg
- En fait : PAPs jusqu'à 38 mmHg (adulte normal non obèse) et 47 mmHg (adulte normal obèse)<sup>1</sup> et PAP élevée chez les hypertendus âgés<sup>2</sup>
- **HTAP si Vmax IT > 3 m/s en l'absence d'obésité et d'HTA.**

<sup>1</sup> : Abergel E et al. Am J cardiol 1996 ; 77 : 767-9

<sup>2</sup> : Finkethor RS et al. Chest 2003 ; 123 : 711-5

## Quels niveaux d'HTAP dans le CPA ?

### EP massive

TABLE 4. HEMODYNAMIC AND ECHO-DOPPLER DATA OBTAINED IN THREE GROUPS OF PATIENTS WITH MASSIVE PULMONARY EMBOLISM

No Circulatory Failure* (n = 32)	Circulatory Failure without Acidosis† (n = 32)	Circulatory Failure with Acidosis‡ (n = 34)
RVEDA/LVEDA	1 ± 0.2	1.2 ± 0.3
HR, beats/min	88 ± 12	104 ± 14 <sup>§</sup>
SI (Doppler), cm <sup>2</sup> /m <sup>2</sup>	31 ± 8	22 ± 8 <sup>¶</sup>
CI (Doppler), L/min/m <sup>2</sup>	2.7 ± 0.7	2.2 ± 0.7
RVEDA, cm <sup>2</sup> /m <sup>2</sup>	15.8 ± 4.5	15.7 ± 3.3
RVESA, cm <sup>2</sup> /m <sup>2</sup>	11.7 ± 3.8	11.7 ± 3.1
LVEDV, cm <sup>3</sup> /m <sup>2</sup>	54.3 ± 11.3	41.3 ± 15.2 <sup>§</sup>
LVESV, cm <sup>3</sup> /m <sup>2</sup>	26.4 ± 13.1	17.4 ± 7.8
LVEF, %	54 ± 15	58 ± 11
Ppa <sub>s</sub> (Doppler), mm Hg	55 ± 18	48 ± 15
E/A mitral	0.85 ± 0.26	0.80 ± 0.21
IVC diam, mm	16 ± 6	19 ± 6

## Quels niveaux d'HTAP dans le CPA ?

### SDRA

TABLE 3. AVERAGE HEMODYNAMIC AND ECHO-DOPPLER DATA OBTAINED IN THREE GROUPS OF PATIENTS WITH ACUTE RESPIRATORY DISTRESS SYNDROME

	No ACP* (n = 62)	Moderate ACP <sup>†</sup> (n = 13)	Severe ACP <sup>‡</sup> (n = 6)
RVEDA/LVEDA	0.54 ± 0.12	0.81 ± 0.10 <sup>§</sup>	1.2 ± 0.11 <sup>§</sup>
HR, beats/min	100 ± 18	114 ± 9	100 ± 17
SI (Doppler), cm <sup>2</sup> /m <sup>2</sup>	32 ± 9	25 ± 8 <sup>¶</sup>	21 ± 4 <sup>¶</sup>
CI (Doppler), L/min/m <sup>2</sup>	3.1 ± 0.9	2.8 ± 0.8	2 ± 0.8 <sup>¶</sup>
RVEDA, cm <sup>2</sup> /m <sup>2</sup>	8.6 ± 2.1	11.6 ± 2.8 <sup>§</sup>	15.2 ± 3.5 <sup>§</sup>
RVESA, cm <sup>2</sup> /m <sup>2</sup>	5.6 ± 1.9	7.6 ± 2.2 <sup>§</sup>	11.7 ± 2.2 <sup>§</sup>
LVEDV, cm <sup>3</sup> /m <sup>2</sup>	61 ± 16	45 ± 8 <sup>§</sup>	43 ± 10 <sup>§</sup>
LVESV, cm <sup>3</sup> /m <sup>2</sup>	29 ± 10	22 ± 10 <sup>§</sup>	20 ± 8 <sup>§</sup>
LVEF, %	52 ± 11	52 ± 17	53 ± 14
Ppa <sub>s</sub> (Doppler), mm Hg	28 ± 11	51 ± 3 <sup>§</sup>	44 ± 6 <sup>§</sup>
E/A mitral	1.3 ± 0.4	0.8 ± 0.2	0.8 ± 0.1
IVC, diam mm	17 ± 5	19 ± 7	24 ± 3

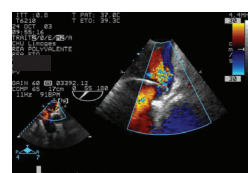
## Réouverture du foramen ovale

Elévation des RVP → Hyperpression droite → Inversion du gradient de pression OD – OG → Réouverture du foramen ovale

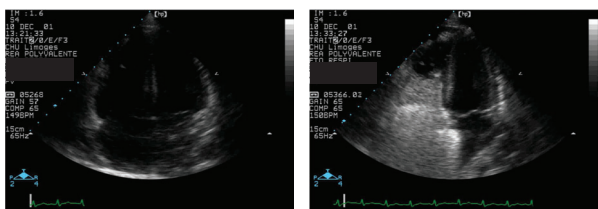
### CPA (transgastrique)



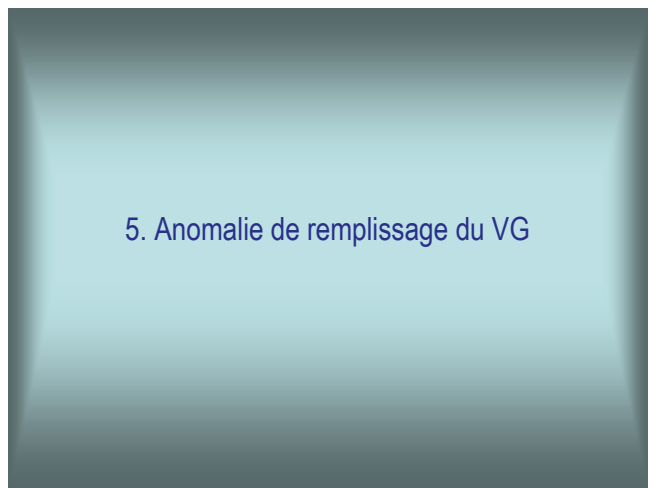
### FOP (Doppler couleur)



## FOP et CPA

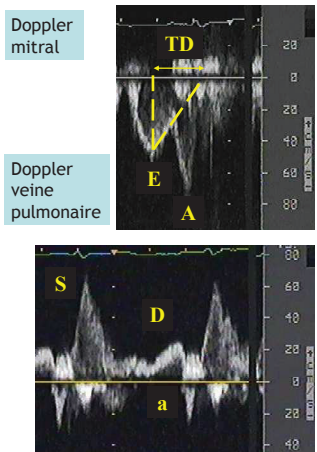


## 5. Anomalie de remplissage du VG

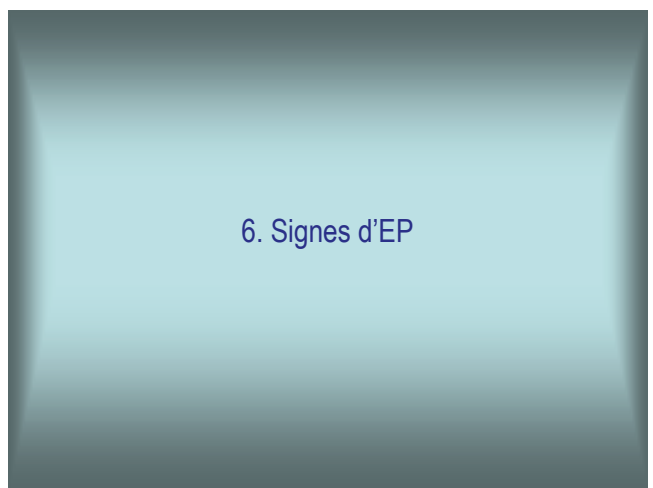


## Anomalie de remplissage du VG

- ❖ ↓ précharge du VG liée à :
  - ↓ VTD du VG liée à l'interaction ventriculaire (dysfonction diastolique VD)
  - ↓ volume d'éjection du VD (dysfonction systolique VD)
- ❖ Aggravée par :
  - hypovolémie associée
  - ventilation mécanique.

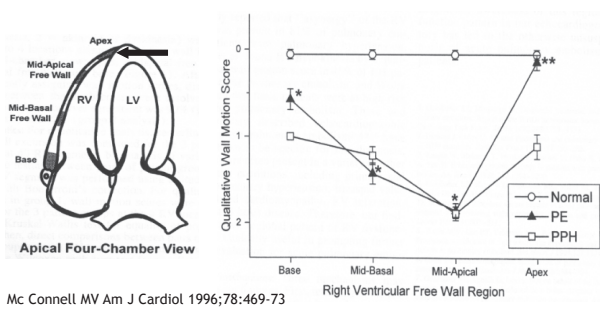


## 6. Signes d'EP

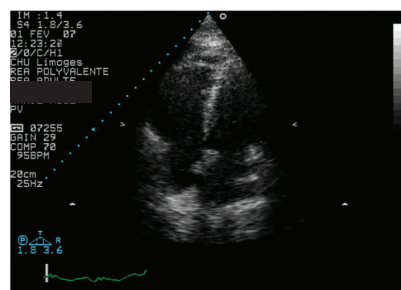


## Dysfonction systolique du VD

- ❖ Hypokinésie base et paroi moyenne
- ❖ Contraction normale apex de paroi libre VD



## Signe de Mc Connell

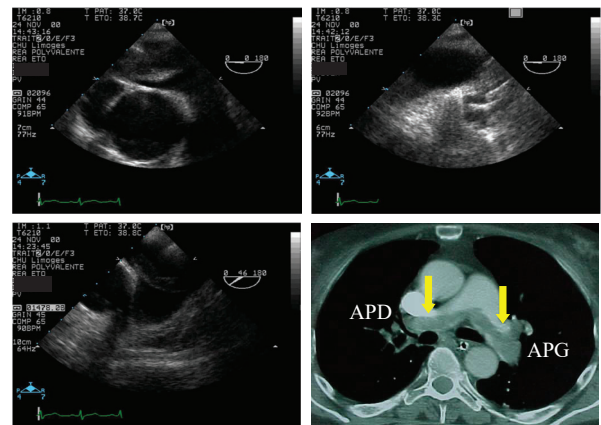
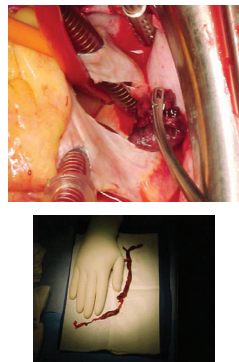
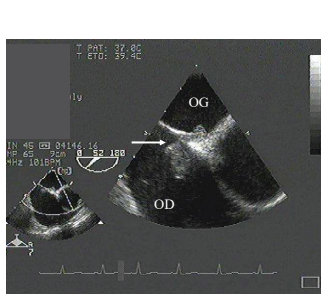


## Embole : signe pathognomonique

- ❖ CPA + embole = EP massive
- ❖ Localisation :
  - En transit (cavités droites)
  - Enclavé dans un FOP (embolie paradoxale)
  - Enclavé dans l'artère pulmonaire proximale (bilatéral)
- ❖ ETT : embole rarement identifiable
- ❖ ETO (patient ventilé) : sensibilité entre 80 et 90 %
- ❖ Faux négatifs :
  - Embolies distaux
  - Embolies enclavés dans l'artère pulmonaire gauche
- ❖ Faux positifs : artefact.



## Embole enclavé dans un FOP : ETO



## Embole : au moins deux incidences

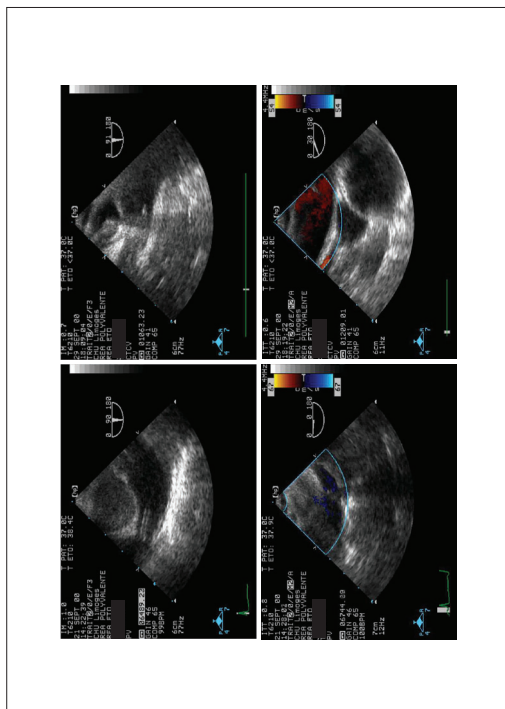
Limite le risque de faux-résultat positif (ou négatif)



## Embole enclavé dans l'AP (ETO)

	Sensibilité	Spécificité
Vieillard-Baron et al. (n=19)	84%	84%
Pruszczycz et al. (n=49)	80%	100%
Wittlich et al. (n=60)	97%	88%
Steiner et al. (n=35)	82%	92%
Krivec et al. (n=12)	92%	100%

Vieillard-Baron A. et al. Intensive care Med 1997;24:429-33  
 Pruszczycz P. et al. Chest 1997;112:722-8  
 Wittlich N. et al. J Am Soc Echocardiogr 1992;5:515-24  
 Steiner P. et al. Am J Roentgenol 1996;167:931-6  
 Krivec B. et al. Chest 1997;112:1310-6.



## 7. CPA et SDRA

### Echocardiographie et SDRA

- ❖ En règle ETO
- ❖ 1<sup>ère</sup> étape : élimine un OAP cardiogénique (confirme le **critère hémodynamique du SDRA**)
- ❖ 2<sup>ème</sup> étape : **identifie un CPA** (surtout si défaillance hémodynamique ± associé à un FOP)
- ❖ 3<sup>ème</sup> étape : évalue l'impact des **règlages du respirateur sur la fonction VD** (Ppl., niveau de PEP)
- ❖ 4<sup>ème</sup> étape : **suivi** après ventilation positionnelle (DV), NO inhalé, mise sous catécholamines, voire épreuves de recrutement alvéolaire.

SPECIAL COMMUNICATION

ONLINE FIRST

### Acute Respiratory Distress Syndrome The Berlin Definition

The ARDS Definition Task Force\*

**Table 3.** The Berlin Definition of Acute Respiratory Distress Syndrome

	Acute Respiratory Distress Syndrome
Timing	Within 1 week of a known clinical insult or new or worsening respiratory symptoms
Chest imaging <sup>a</sup>	Bilateral opacities—not fully explained by effusions, lobar/ung collapse, or nodules
Origin of edema	Respiratory failure not fully explained by cardiac failure or fluid overload. Need objective assessment (e.g., echocardiography) to exclude hydrostatic edema if no risk factor present
Oxygenation <sup>b</sup>	
Mild	200 mm Hg < PaO <sub>2</sub> /FiO <sub>2</sub> ≤ 300 mm Hg with PEEP or CPAP ≥ 5 cm H <sub>2</sub> O
Moderate	100 mm Hg < PaO <sub>2</sub> /FiO <sub>2</sub> ≤ 200 mm Hg with PEEP ≥ 5 cm H <sub>2</sub> O
Severe	PaO <sub>2</sub> /FiO <sub>2</sub> ≤ 100 mm Hg with PEEP ≥ 5 cm H <sub>2</sub> O

JAMA 2012; 307: 2526-33

Intensive Care Med (1999) 25: 936–941  
© Springer-Verlag 1999

ORIGINAL

F. Jardin  
J.-L. Fellahi  
A. Vaillant-Baron  
Y. Loustau  
B. Page

### Improved prognosis of acute respiratory distress syndrome 15 years on

	"historical" ARDS (n = 33)	"recent" ARDS (n = 37)
Days on MV	14 ± 12	17 ± 14
TV (ml/kg)	13 ± 2	9 ± 2*
RR	16 ± 2	16 ± 2
FiO <sub>2</sub>	0.59 ± 0.11	0.63 ± 0.13
EIP (cm H <sub>2</sub> O)	39 ± 4	25 ± 4*
EEP (cm H <sub>2</sub> O)	10 ± 4	6 ± 4*
PaO <sub>2</sub> (mm Hg)	66 ± 19	77 ± 22*
PaCO <sub>2</sub> (mm Hg)	36 ± 6	51 ± 10*
C <sub>T</sub> (ml/cm H <sub>2</sub> O)	31.4 ± 9.9	33.2 ± 12.6

Incidence du cœur pulmonaire aigu

61%

Mortalité 64%

25%

Mortalité 8%

Jardin Intensive Care Med 1999

Intensive Care Med (2013) 39:1728–1730  
DOI 10.1007/s00134-013-3017-x

ORIGINAL

Gwenaelle Léhirier  
Antoine Legras  
Anne-Claire Thivierge  
Thierry Lhermitte  
Maud Massement  
Jean-Pierre Frat  
Anne-Sophie Gouly  
Laurent Martin-Leroux  
Jean-Michel Gérard  
Daniel Gérard  
Philippe Viguer

Florence Bollier  
Sandrine Katschal  
Dominique Richez  
Arnaud V. Thabut  
Frédéric M. Lamy  
Béatrice Lévy  
Laurent Frerichs  
Anne-Sophie Gouly  
Christian Brus-Buisson  
Armand Melot-Grange

Prevalence and prognostic value of acute cor pulmonale and patent foramen ovale in ventilated patients with early acute respiratory distress syndrome: a multicenter study

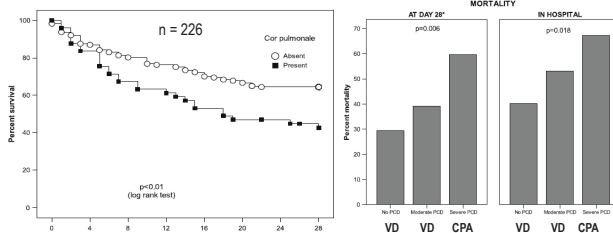


- Multicentrique
- 200 patients SDRA persistant (P/F ≤ 200)
- Ventilation protectrice
- **CPA : 22.5%** (CI 95% : 16.9 – 28.9%)
- ARDS I documenté : 45%
- Autres sepsis : 9%
- Monocentrique
- 236 patients SDRA (P/F ≤ 200)
- Ventilation protectrice
- **CPA : 22%** (CI 95% : 16 – 27%)
- ARDS I documenté : 53%
- Autres sepsis : 10%

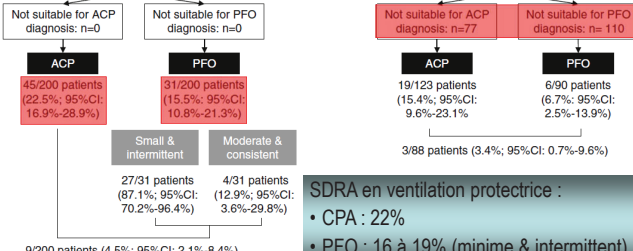
Florence Boissier  
Florence Boissier  
Kevyn Razai  
Kevyn Razai  
Ferran Roche-Campo  
Rusel Leon  
Rusel Leon  
Laurent Brochard  
Laurent Brochard  
Antoine Vieillard-Baron  
Antoine Vieillard-Baron  
Armand Mekontso-Dessap  
Armand Mekontso-Dessap

### Prevalence and prognosis of cor pulmonale during protective ventilation for acute respiratory distress syndrome

Prévalence : 22% (CI 95% : 16 – 27%)



### Prevalence and prognostic value of acute cor pulmonale and patent foramen ovale in ventilated patients with early acute respiratory distress syndrome: a multicenter study



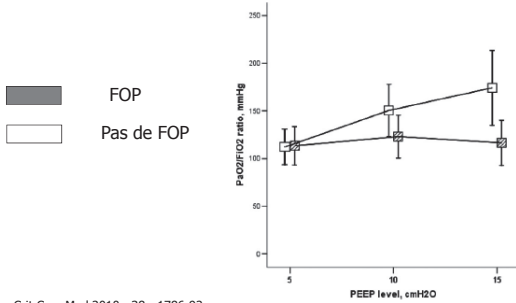
#### SDRA en ventilation protectrice :

- CPA : 22%
- PFO : 16 à 19% (minime & intermittent)

### Prevalence and prognosis of shunting across patent foramen ovale during acute respiratory distress syndrome\*

Armand Mekontso Dessap, MD, PhD; Florencia Boissier, MD; Rusel Leon, MD; Serge Carreira, MD; Ferran Roche Campo, MD; François Lemaire, MD; Laurent Brochard, MD

FOP : 19/203 patients (19,2%)



Crit Care Med 2010 ; 38 : 1786-92

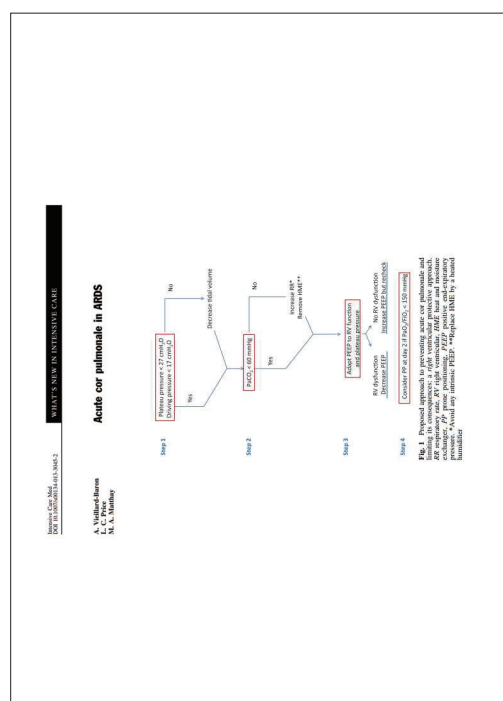
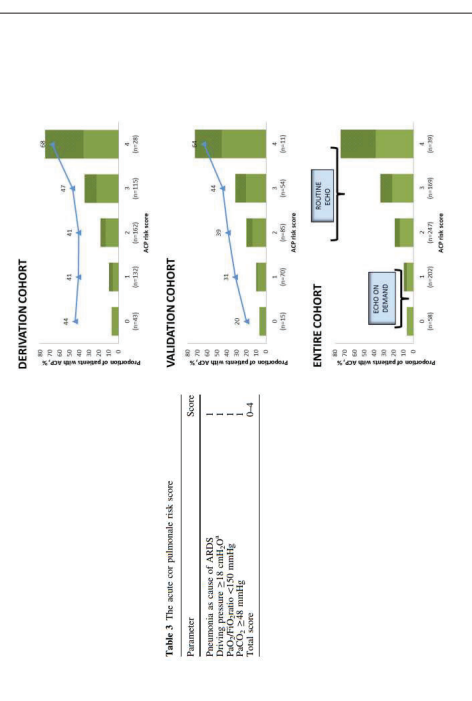


### Acute cor pulmonale during protective ventilation for acute respiratory distress syndrome: prevalence, predictors, and clinical impact

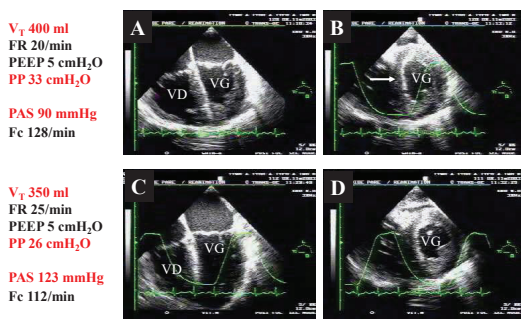
- Trois séries de patients en SDRA modéré à sévère ( $P/F \leq 200$ ) sous VM protectrice
- 752 patients avec une incidence du CPA : 22% (CI 95% : 19 – 25%)
- Seul le CPA sévère ( $VD/VG > 1$ ) est associé à la mortalité

Table 4 Factors associated with hospital mortality in patients with acute respiratory distress syndrome

Variable	Odds ratio (95 % CI)	Univariate logistic regression	Multivariable logistic regression <sup>a</sup>
Male gender	1.35 (0.99–1.84), $p = 0.06$	1.46 (1.01–2.11), $p = 0.045$	
Age ≥ 58 years	2.33 (1.73–3.14), $p < 0.01$	2.42 (1.71–3.45), $p < 0.01$	1.88 (1.32–2.69), $p < 0.01$
APACHE II score ≥ 26 points	2.79 (2.08–3.76), $p < 0.01$		
Respiratory settings on TEE day			
Respiratory rate ≥ 30 cycles/min	2.06 (1.41–3.02), $p < 0.01$	3.29 (2.07–5.22), $p < 0.01$	
PEEP ≥ 12 cmH <sub>2</sub> O	0.64 (0.41–0.91), $p = 0.01$	1/NR	
PEEP ≥ 15 cmH <sub>2</sub> O	1.40 (1.04–1.89), $p = 0.03$	1/NR	
Compliance <5 ml/cmH <sub>2</sub> O	1.46 (1.07–2.00), $p = 0.02$	1/NR	
Driving pressure ≥ 15 cmH <sub>2</sub> O	1.90 (1.40–2.58), $p < 0.01$	2.26 (1.58–3.23), $p < 0.01$	
PaO <sub>2</sub> /FiO <sub>2</sub> ratio <100 mmHg on TEE day	1.45 (1.04–1.86), $p = 0.01$	1.45 (1.03–1.84), $p = 0.01$	
Shock on TEE day	1.32 (1.08–1.56), $p = 0.03$	2.00 (1.03–3.88), $p = 0.04$	
Pronc position during ARDS	3.25 (2.23–4.56), $p < 0.01$	2.57 (1.73–3.80), $p < 0.01$	
Variable	Odds ratio (95 % CI)	Univariate logistic regression	Multivariable logistic regression <sup>a</sup>

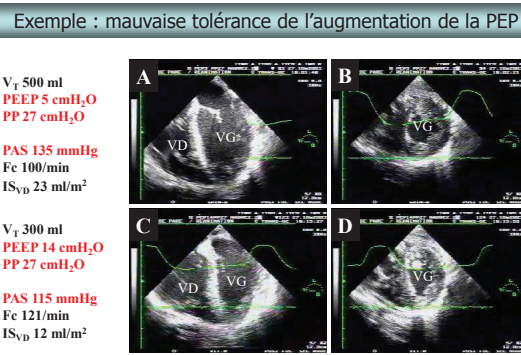


## Effet néfaste d'une Ppl. excessive



A Vieillard-Baron In : Echocardiographie chez le patient en état critique. Elsevier 2008

## Adaptation du niveau de PEP

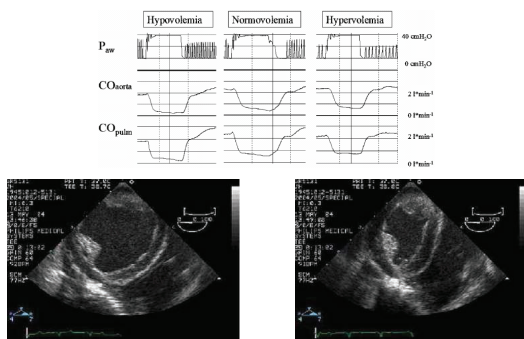


A Vieillard-Baron In : Echocardiographie chez le patient en état critique. Elsevier 2008

Jonas Nielsen  
Maja Nilsson  
Filip Frödin  
Jørn Hansen  
Ulrica Åström  
Jesper Kjergaard  
Göran Hedenstierna  
Anders Larsson

### Central hemodynamics during lung recruitment maneuvers at hypovolemia, normovolemia and hypervolemia. A study by echocardiography and continuous pulmonary artery flow measurements in lung-injured pigs

ICM 2006



### Moderate and Severe Acute Respiratory Distress Syndrome: Hemodynamic and Cardiac Effects of an Open Lung Recruitment Maneuver and the Best Positive End-Expiratory Pressure

*Crit Care Med 2010; 38:1609–1616*  
Paulo Moreira, MD; Julian Mancuso, PhD; Lucy Kumar, MD; Karin Norden, MD; Michael McCarty, MD; Stephen Huang, MD; Sam Ohri, MD; Anthony McCann, MD; Philip Marshall, MD; James M. Pepe

Handing	Best Position		Recruitment End-Expiratory Pressure Mean ± SD mmHg	Baseline Mean ± SD mmHg	Mean ± SD mmHg
	Left ventricular end-diastolic volume (mL)	Right ventricular end-diastolic volume (mL)			
PEEP 0 (n=6)	9.0±2.0	6.7±2.0*	6.7±2.0*	6.7±2.0*	6.7±2.0*
PEEP 10 (n=6)	3.0±1.7	3.0±1.7	3.0±1.7	3.0±1.7	3.0±1.7
PEEP 20 (n=6)	2.6±1.0*	2.6±1.0*	2.6±1.0*	2.6±1.0*	2.6±1.0*
PEEP 30 (n=6)	1.3±1.3	1.3±1.3	1.3±1.3	1.3±1.3	1.3±1.3
PEEP 40 (n=6)	1.0±0.9*	1.0±0.9*	1.0±0.9*	1.0±0.9*	1.0±0.9*
PEEP 50 (n=6)	0.8±0.4*	0.8±0.4*	0.8±0.4*	0.8±0.4*	0.8±0.4*
PEEP 60 (n=6)	0.6±0.17	0.6±0.17	0.6±0.17	0.6±0.17	0.6±0.17
E/A (n=6)	0.1±0.04	0.1±0.04	0.1±0.04	0.1±0.04	0.1±0.04
Left atrial annulus velocity (m/s)	0.12±0.05	0.12±0.05	0.12±0.05	0.12±0.05	0.12±0.05
E/E' (n=6)	1.3±0.4	1.3±0.4	1.3±0.4	1.3±0.4	1.3±0.4
Systolic mitral annulus velocity (m/s)	10.3±3.5	10.3±3.5	10.3±3.5	10.3±3.5	10.3±3.5
Left ventricular longitudinal strain (%)	0.11±0.05	0.11±0.05	0.11±0.05	0.11±0.05	0.11±0.05
IVRT (ms)	15.8±4.5	15.8±4.5	15.8±4.5	15.8±4.5	15.8±4.5
Treated mitral annulus excursion (cm)	1.3±0.4	1.3±0.4	1.3±0.4	1.3±0.4	1.3±0.4
PVEDEDA	0.56±0.16	0.56±0.16	0.56±0.16	0.56±0.16	0.56±0.16
Systolic velocity of incised annulus (m/s)	0.13±0.03	0.13±0.03	0.13±0.03	0.13±0.03	0.13±0.03
Infusion wave (cm)	2.0±2.0	2.0±2.0	2.0±2.0	2.0±2.0	2.0±2.0
Right ventricular free wall longitudinal strain (%)	-1.0±1.0	-1.0±1.0	-1.0±1.0	-1.0±1.0	-1.0±1.0

### Moderate and Severe Acute Respiratory Distress Syndrome: Hemodynamic and Cardiac Effects of an Open Lung Strategy With Recruitment Maneuver

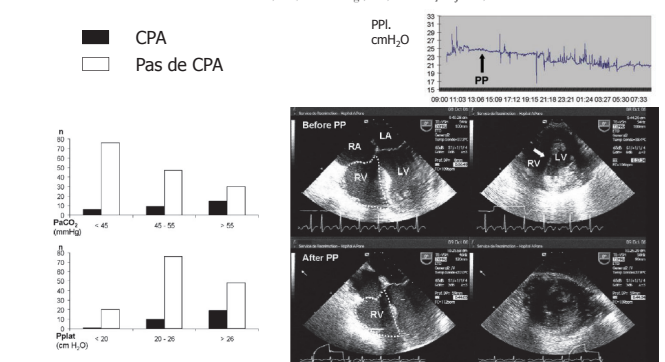
Pabla Moreira, MD; Julian Mancuso, PhD; Lucy Kumar, MD; Karin Norden, MD; Michael McCarty, MD; Stephen Huang, MD; Sam Ohri, MD; Anthony McCann, MD; Philip Marshall, MD; James M. Pepe

*Crit Care Med 2010; 38:1609–1616*

Handing	Best Position		Recruitment End-Expiratory Pressure Mean ± SD mmHg	Baseline Mean ± SD mmHg	Mean ± SD mmHg
	Left ventricular end-diastolic volume (mL)	Right ventricular end-diastolic volume (mL)			
PEEP 0 (n=6)	9.0±2.0	6.7±2.0*	6.7±2.0*	6.7±2.0*	6.7±2.0*
PEEP 10 (n=6)	3.0±1.7	3.0±1.7	3.0±1.7	3.0±1.7	3.0±1.7
PEEP 20 (n=6)	2.6±1.0*	2.6±1.0*	2.6±1.0*	2.6±1.0*	2.6±1.0*
PEEP 30 (n=6)	1.3±1.3	1.3±1.3	1.3±1.3	1.3±1.3	1.3±1.3
PEEP 40 (n=6)	1.0±0.9*	1.0±0.9*	1.0±0.9*	1.0±0.9*	1.0±0.9*
PEEP 50 (n=6)	0.8±0.4*	0.8±0.4*	0.8±0.4*	0.8±0.4*	0.8±0.4*
PEEP 60 (n=6)	0.6±0.17	0.6±0.17	0.6±0.17	0.6±0.17	0.6±0.17
E/A (n=6)	0.1±0.04	0.1±0.04	0.1±0.04	0.1±0.04	0.1±0.04
Left atrial annulus velocity (m/s)	0.12±0.05	0.12±0.05	0.12±0.05	0.12±0.05	0.12±0.05
E/E' (n=6)	1.3±0.4	1.3±0.4	1.3±0.4	1.3±0.4	1.3±0.4
Systolic mitral annulus velocity (m/s)	10.3±3.5	10.3±3.5	10.3±3.5	10.3±3.5	10.3±3.5
Left ventricular longitudinal strain (%)	0.11±0.05	0.11±0.05	0.11±0.05	0.11±0.05	0.11±0.05
IVRT (ms)	15.8±4.5	15.8±4.5	15.8±4.5	15.8±4.5	15.8±4.5
Treated mitral annulus excursion (cm)	1.3±0.4	1.3±0.4	1.3±0.4	1.3±0.4	1.3±0.4
PVEDEDA	0.56±0.16	0.56±0.16	0.56±0.16	0.56±0.16	0.56±0.16
Systolic velocity of incised annulus (m/s)	0.13±0.03	0.13±0.03	0.13±0.03	0.13±0.03	0.13±0.03
Infusion wave (cm)	2.0±2.0	2.0±2.0	2.0±2.0	2.0±2.0	2.0±2.0
Right ventricular free wall longitudinal strain (%)	-1.0±1.0	-1.0±1.0	-1.0±1.0	-1.0±1.0	-1.0±1.0

## Prone Positioning Unloads the Right Ventricle in Severe ARDS\*

Antoine Vieillard-Baron, MD; Cyril Charron, MD; Vincent Caille, MD; Gaëlleanne Belluard, MD; Bernard Page, MD; and François Jardin, MD



## CPA : conclusions

- ❖ CPA : syndrome échocardiographie Doppler
  - EP (massive)
  - SDRA, choc septique
- ❖ Surcharge diastolique et systolique du VD
- ❖ ETT : en première intention si patient en VS (EP)
- ❖ ETO : chez le patient ventilé (SDRA, ACR sur EP massive)
- ❖ Guide le traitement (y compris les réglages du respirateur si SDRA).